

# Engineering Fluid Mechanics

# 工程流体力学

## 第8章 不可压缩粘性流体的外部流动

教学团队：严 岩  
韩 煜  
吴 泽  
李 晓  
莫景文  
孙东科



东南大学机械工程学院

2023/6/7

# 第8章 不可压缩粘性流体的外部流动



## 目录 CONTENTS

8.1 边界层概念

8.2 绕平板流动边界层的近似计算

8.3 绕曲面流动及边界层的分离

8.4 黏性流体绕小圆球的蠕流流动

8.5 黏性流体绕流物体的阻力

## 8.3 绕曲面流动及边界层的分离

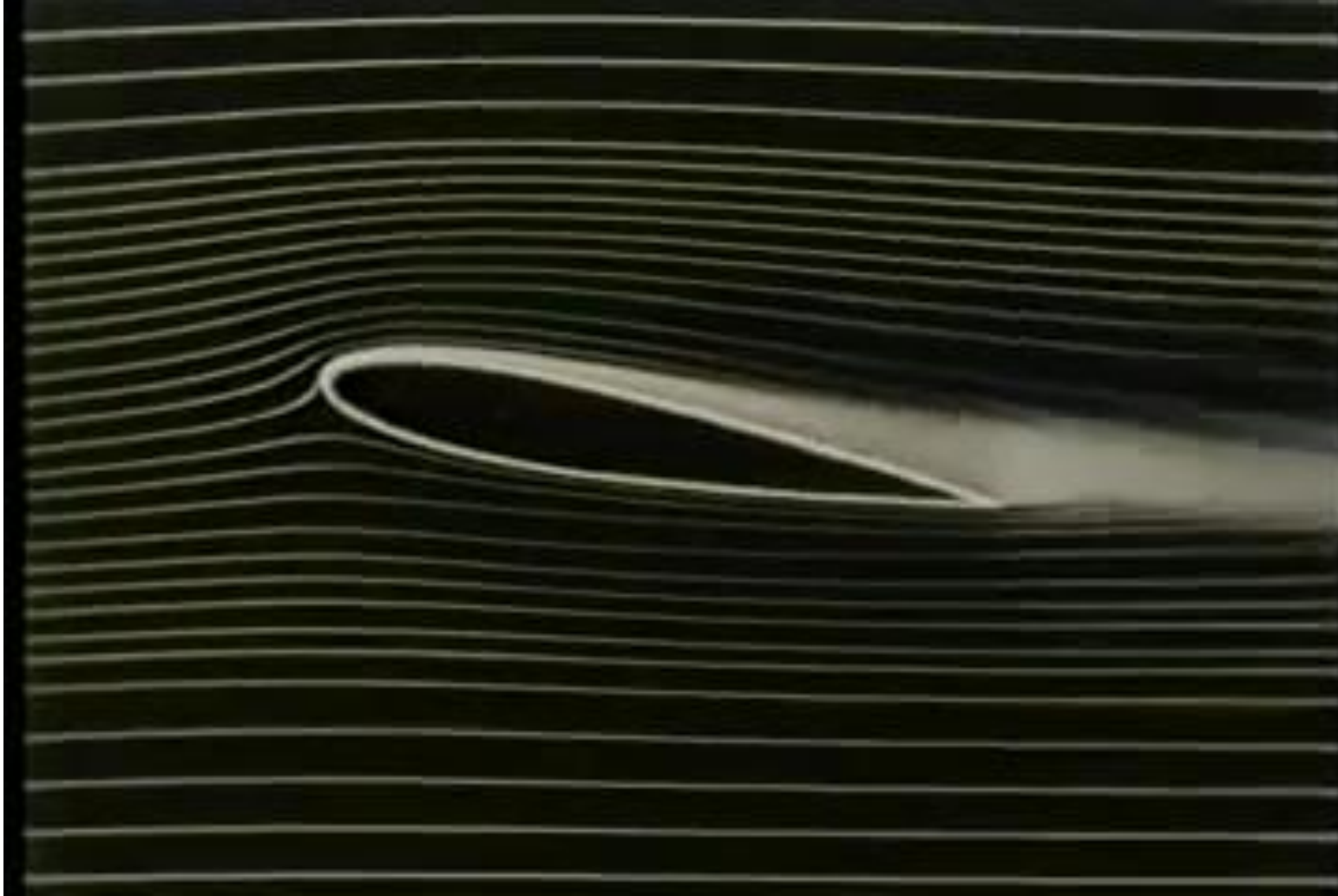
**问题：什么是边界层分离？对工程实际有何意义？**

**汽车的流线型设计、流线紧贴汽车表面，避免尾部涡流，减少阻力，减少噪声；**



## 8.3 绕曲面流动及边界层的分离

### 边界层分离现象



video: Frederick Abernathy, Harvard University;

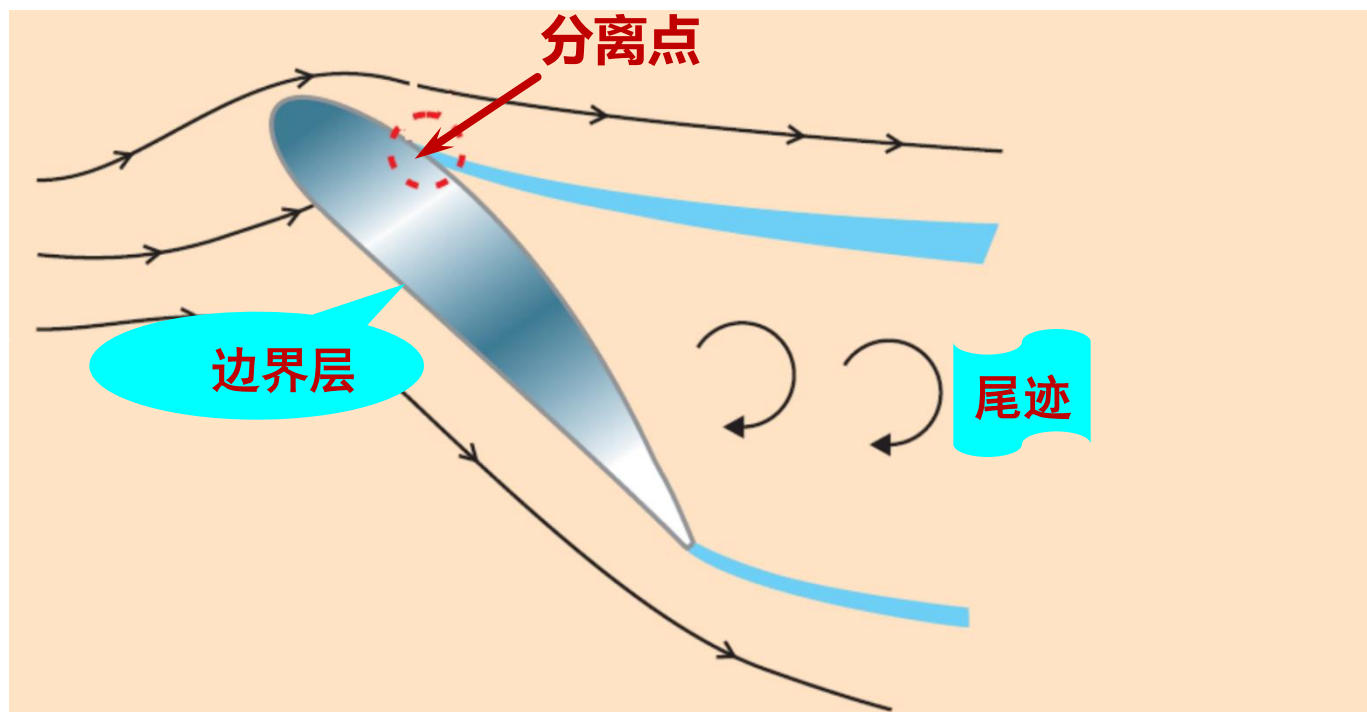
## 8.3 绕曲面流动及边界层的分离

### 边界层分离引起的飞机失速



## 8.3 绕曲面流动及边界层的分离

在实际工程中，物体的边界往往是曲面（流线型或非流线型物体）。当流体绕流非流线型物体时，一般会出现下列现象：物面上的边界层在某个位置开始脱离物面，并在物面附近出现与主流方向相反的回流，流体力学中称这种现象为**边界层分离现象**

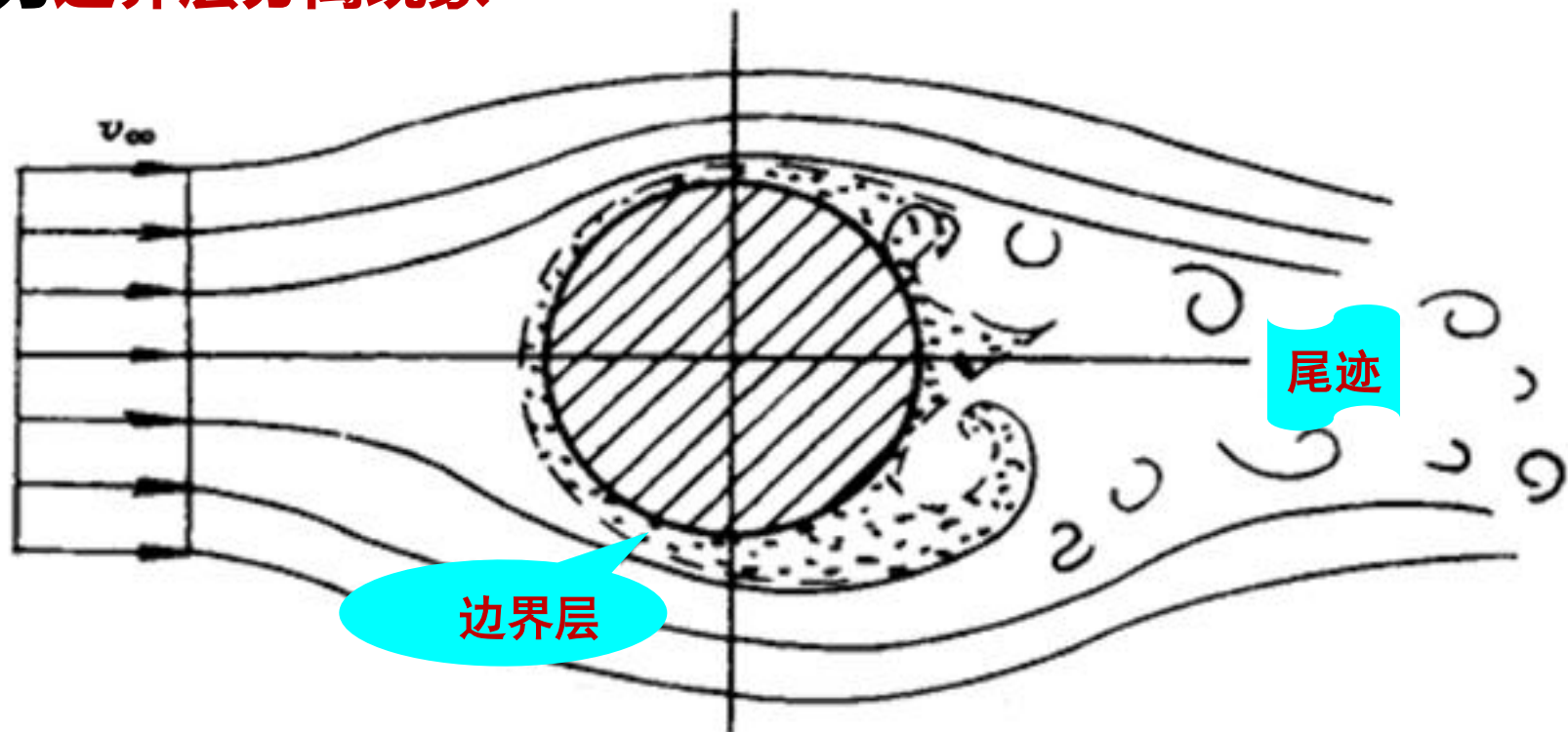


(a) 流线型物体的边界层分离现象示意图



## 8.3 绕曲面流动及边界层的分离

在实际工程中，物体的边界往往是曲面（流线型或非流线型物体）。当流体绕流非流线型物体时，一般会出现下列现象：物面上的边界层在某个位置开始脱离物面，并在物面附近出现与主流方向相反的回流，流体力学中称这种现象为**边界层分离现象**

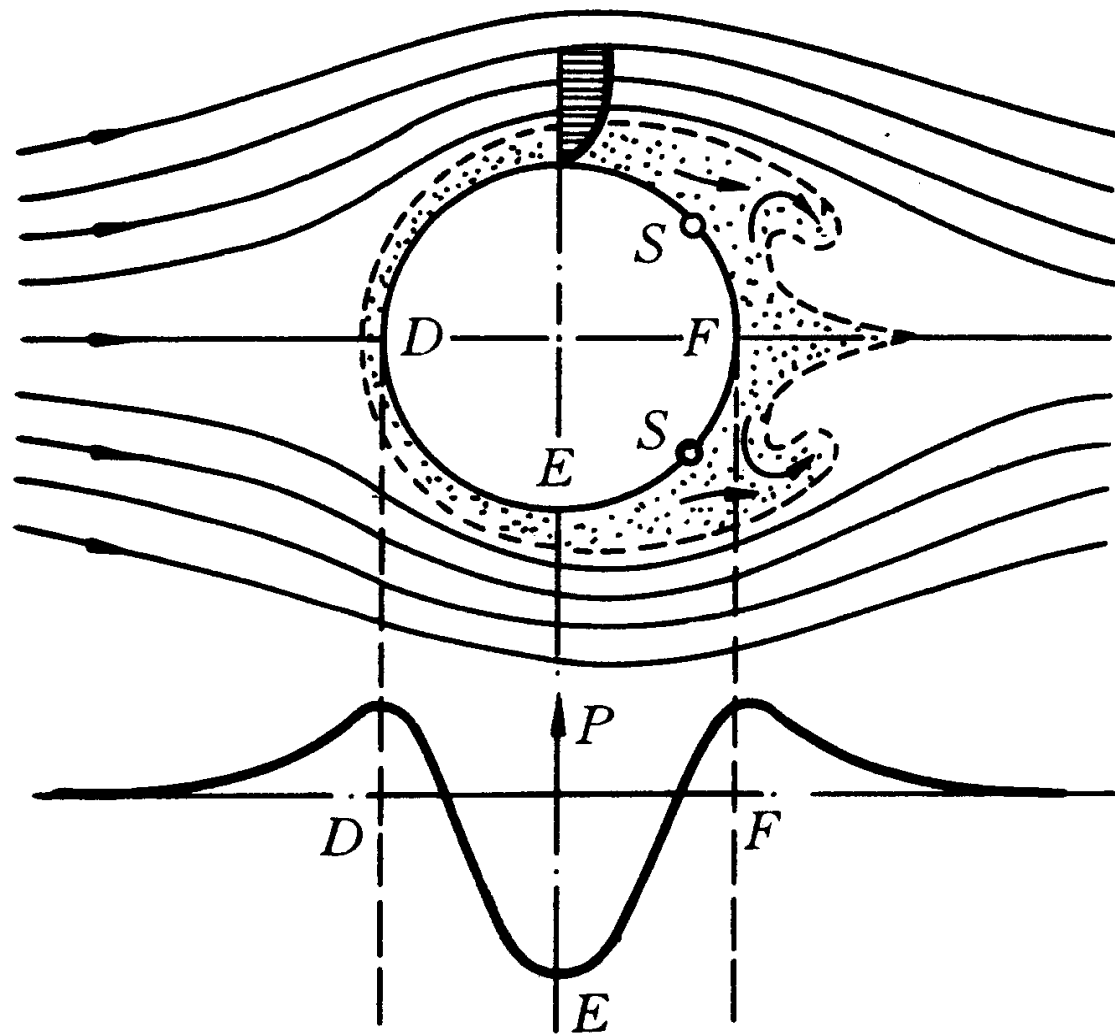


(b) 非流线型物体的边界层分离现象示意图

## 8.3 绕曲面流动及边界层的分离

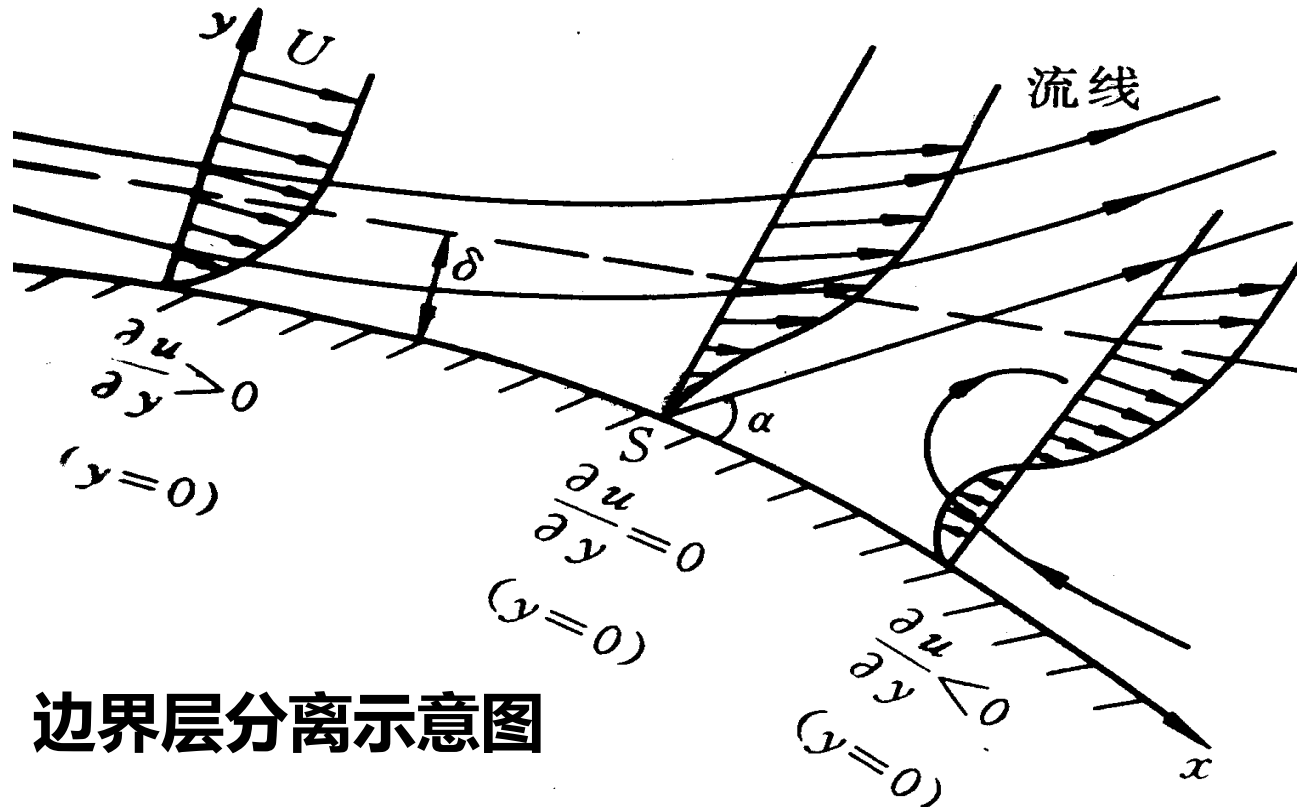
### 边界层分离的原因

- 1、从D到E流动加速，为顺压梯度区；流体压能向动能转变，不发生边界层分离；
- 2、从E到F流动减速，为逆压梯度区；E到F段动能只存在损耗，速度减小很快；
- 3、在S点处出现粘滞，由于压力的升高产生回流导致边界层分离，并形成尾涡





## 8.3 绕曲面流动及边界层的分离



边界层分离示意图

**结论：**粘性流体在**压力降低区**内流动（加速流动），决不会出现边界层的分离，只有在**压力升高区**内流动（减速流动），才有可能出现分离，形成漩涡。尤其是在主流减速足够大的情况下，边界层的分离就一定会发生。

## 8.3 绕曲面流动及边界层的分离

--**边界层分离**：边界层脱离壁面

### 1. 分离现象

圆柱后部：猫眼

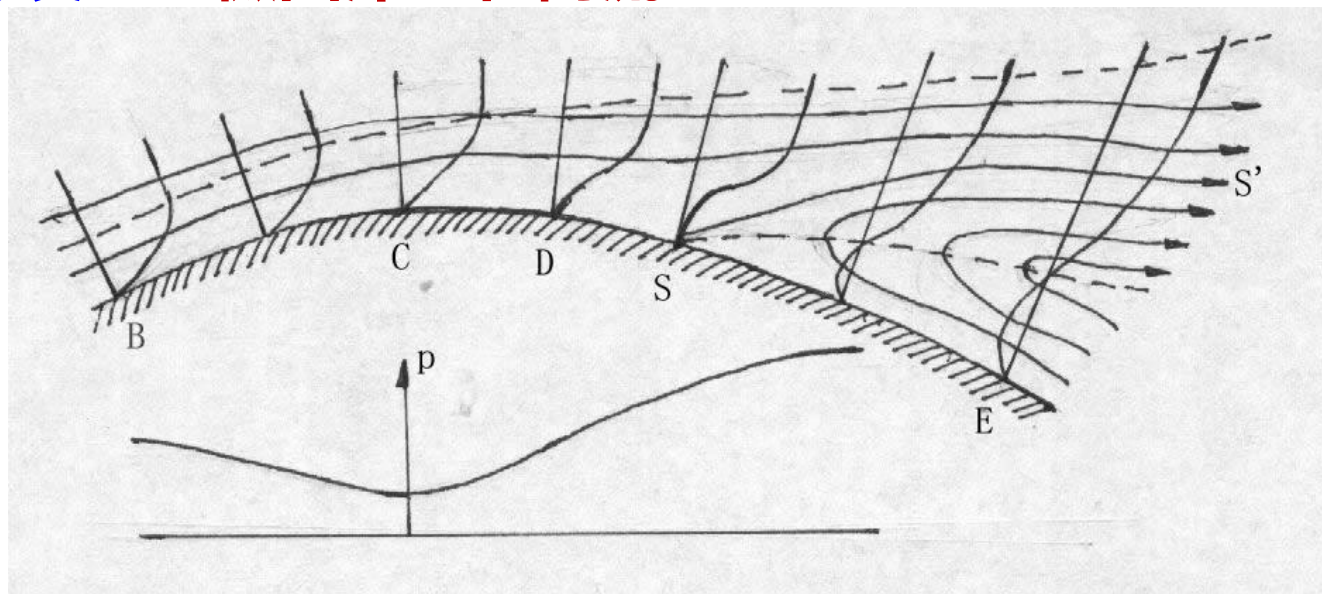
在顺压梯度区 (BC)：流体加速

在逆压梯度区 (CE)：CS段减速 → S点停止 → SE倒流

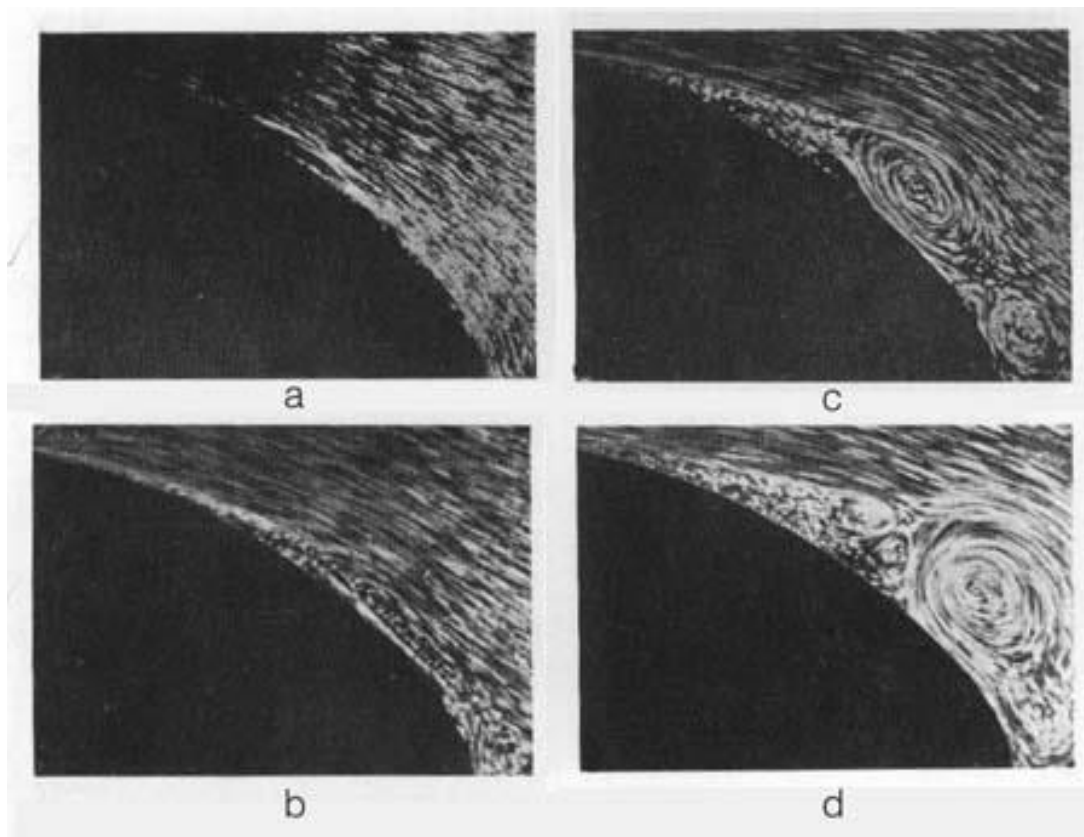
2. 分离的原因 - 粘性

3. 分离的条件 - 逆压梯度

4. 分离的实际发生 - 微团滞止和倒流

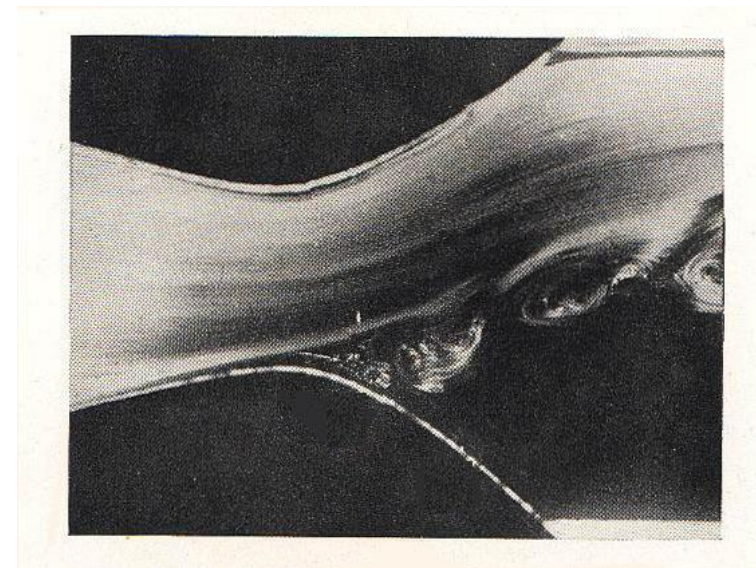


## 8.3 绕曲面流动及边界层的分离



从静止开始边界层发展情况

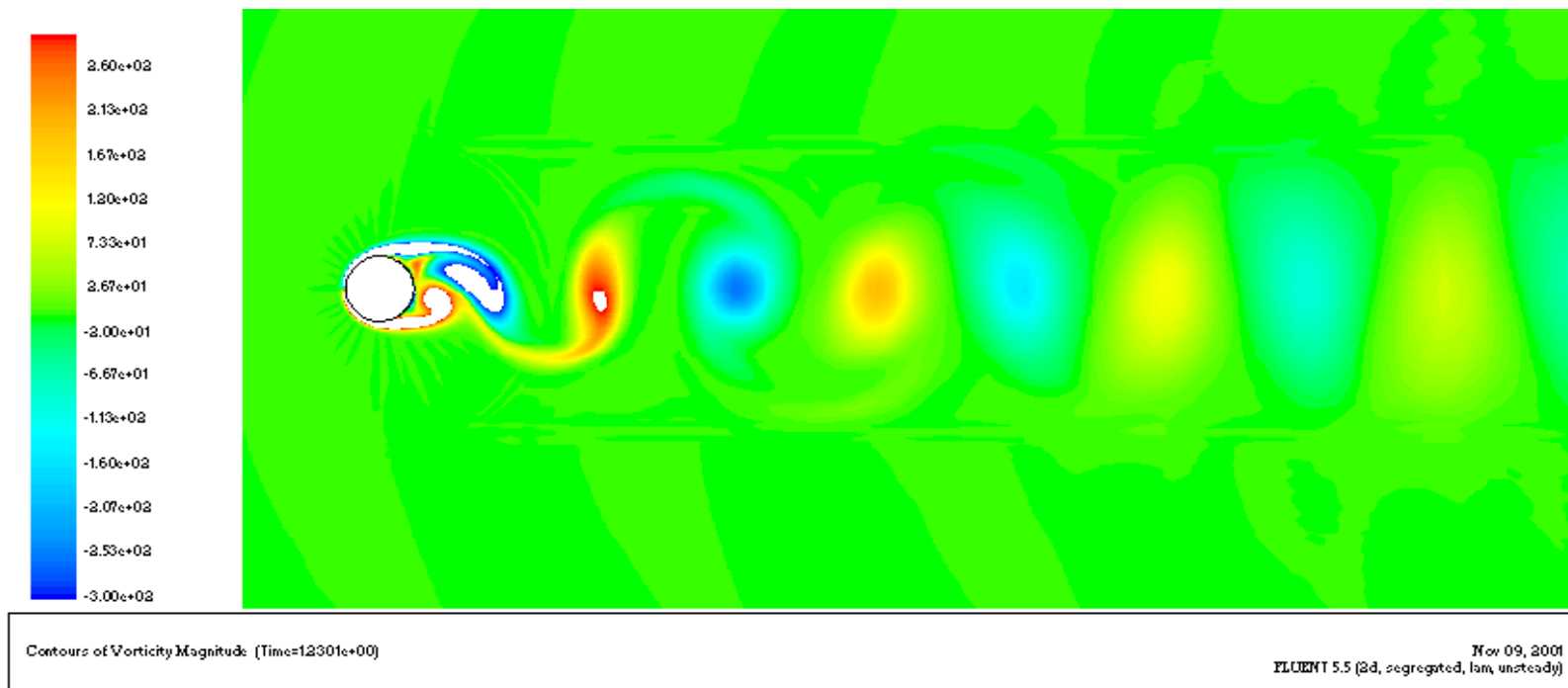
- **注意：**普朗特边界层方程仅适用于**分离点以前**的区域；
- **原因：**分离点后出现**回流**， $u$ ， $v$ 的数量级发生很大变化



扩张管  
(上壁有抽吸)

## 8.3 绕曲面流动及边界层的分离

### 圆柱扰流问题与卡门涡街



- **圆柱绕流问题：**随着雷诺数的增大边界层首先出现分离，分离点并不不断的前移，当雷诺数大到一定程度时，会形成两列几乎稳定的、非对称性的、交替脱落的、旋转方向相反的旋涡，并随主流向下游运动，这就是**卡门涡街**。
- 卡门对涡街进行运动分析得出了**涡列间几何关系、阻力、涡释放频率**以及**斯特罗哈数**的经验公式
- 当**涡释放频率**和**物体固有频率**接近，产生共振，危害很大（虎门大桥振动）。

## 8.3 绕曲面流动及边界层的分离

### 大自然中的卡门涡街现象



马德拉岛附近的卡门涡街

## 8.3 绕曲面流动及边界层的分离 -卡门涡街

### 圆柱扰流问题与卡门涡街

圆柱体的卡门涡街的**脱落频率**  $n$  与流体流动的速度  $U_{\infty}$  和圆柱体直径  $d$  有关

$$n = S \frac{U_{\infty}}{d}$$

$S$ 无量纲数，称为斯特劳哈(V. Strouhal)数,和 $Re$ 有关。

根据根据罗斯柯 (A. Roshko) 1954年的实验结果，当  $Re$  大于1000时，斯特劳哈数 $St$ 近似地等于常数，即  $S = 0.21$

测定卡门涡街脱落频率的方法有**热敏电阻丝法**、**超音波束法**等，根据卡门涡街的上述性质，可以制成卡门涡街流量计。



## 8.4 粘性流体绕小圆球的蠕动流动

**蠕动流动：**雷诺数很低的流动。

**特点：**特征尺度和流动的速度均很小

如：粉料的气力输送、除尘器中灰尘的沉积、煤粉在炉膛中的沉降等等。



风沙的沉降



病毒的飞沫传播

## 8.4 粘性流体绕小圆球的蠕动流动

### 蠕动流的微分方程：

对于定常流动，忽略惯性力和质量力，在直角坐标系下，可把N-S方程组简化成：

$$\left. \begin{aligned} \frac{\partial p}{\partial x} &= \mu \left( \frac{\partial^2 u}{\partial x^2} + \frac{\partial^2 u}{\partial y^2} + \frac{\partial^2 u}{\partial z^2} \right) \\ \frac{\partial p}{\partial y} &= \mu \left( \frac{\partial^2 v}{\partial x^2} + \frac{\partial^2 v}{\partial y^2} + \frac{\partial^2 v}{\partial z^2} \right) \\ \frac{\partial p}{\partial z} &= \mu \left( \frac{\partial^2 w}{\partial x^2} + \frac{\partial^2 w}{\partial y^2} + \frac{\partial^2 w}{\partial z^2} \right) \end{aligned} \right\} \quad (8-46a)$$

## 8.4 粘性流体绕小圆球的蠕动流动

**蠕动流动的微分方程：**

**如果流动是不可压缩流体，则连续性方程为：**

$$\frac{\partial u}{\partial x} + \frac{\partial v}{\partial y} + \frac{\partial w}{\partial z} = 0 \quad (8-46b)$$

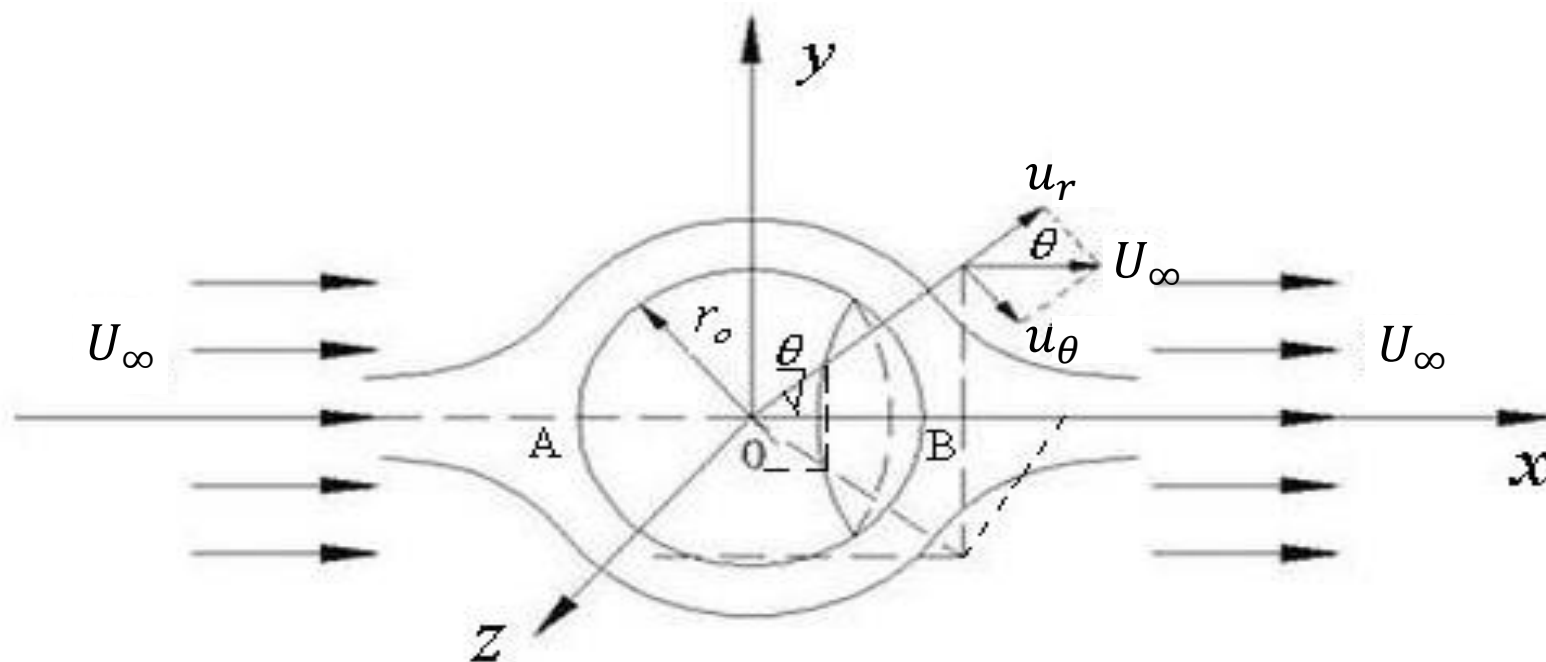
**将式(8-46a)依次求  $\frac{\partial^2 p}{\partial x^2}$ 、 $\frac{\partial^2 p}{\partial y^2}$ 、 $\frac{\partial^2 p}{\partial z^2}$ ，然后相加，并结合连续性方程，得到：**

$$\frac{\partial^2 p}{\partial x^2} + \frac{\partial^2 p}{\partial y^2} + \frac{\partial^2 p}{\partial z^2} = \nabla^2 p = 0 \quad (8-46a)$$

**即蠕动流动的压力场满足拉普拉斯方程**

## 8.4 粘性流体绕小圆球的蠕动流动

下面我们建立流动的物理模型：



无穷远流速度  $U_\infty$ ，  
流动方向与  $x$  轴平行，  
绕半径为  $r_0$  的静止圆  
球流动

1. 流动是轴对称的，在球坐标系中，所有参量均与  $\varphi$  坐标无关

2. 边界条件：

在球面上  $r = r_0, u_r = u_\theta = 0$

无穷远处  $r \rightarrow \infty, u_r = U_\infty \cos\theta, u_\theta = -U_\infty \sin\theta$

## 8.4 粘性流体绕小圆球的蠕动流动

同时，流体作不可压定常流动，忽略惯性力、质量力，根据第四章公式(4-85)，简化如下：

$$\left. \begin{aligned} \frac{\partial p}{\partial r} &= \mu \left( \frac{\partial^2 u_r}{\partial r^2} + \frac{1}{r^2} \frac{\partial^2 u_r}{\partial \theta^2} + \frac{2}{r} \frac{\partial u_r}{\partial r} + \frac{\cot \theta}{r^2} \frac{\partial u_r}{\partial \theta} - \frac{2}{r^2} \frac{\partial u_\theta}{\partial \theta} - \frac{2u_r}{r^2} - \frac{2u_\theta \cot \theta}{r^2} \right) \\ \frac{1}{r} \frac{\partial p}{\partial \theta} &= \mu \left( \frac{\partial^2 u_\theta}{\partial r^2} + \frac{1}{r^2} \frac{\partial^2 u_\theta}{\partial \theta^2} + \frac{2}{r} \frac{\partial u_\theta}{\partial r} + \frac{\cot \theta}{r^2} \frac{\partial u_\theta}{\partial \theta} + \frac{2}{r^2} \frac{\partial u_r}{\partial \theta} - \frac{u_\theta}{r^2 \sin^2 \theta} \right) \\ \frac{\partial u_r}{\partial r} + \frac{2u_r}{r} + \frac{1}{r} \frac{\partial u_\theta}{\partial \theta} + \frac{u_\theta \cot \theta}{r} &= 0 \end{aligned} \right\} \quad (8-47)$$

边界条件：

在球面上  $r = r_0, u_r = u_\theta = 0$

无穷远处  $r \rightarrow \infty, u_r = U_\infty \cos \theta, u_\theta = -U_\infty \sin \theta$

方程的求解方法详见教材285页，我们可以得到如下形式的解：

## 8.4 粘性流体绕小圆球的蠕动流动

$$\left. \begin{aligned} u_r &= U_\infty \cos \theta \left( 1 - \frac{3r_0}{2r} + \frac{r_0^3}{2r^3} \right) \\ u_\theta &= -U_\infty \sin \theta \left( 1 - \frac{3r_0}{4r} - \frac{r_0^3}{4r^3} \right) \\ p(r, \theta) &= p_0 - \frac{3\mu U_\infty r_0 \cos \theta}{2r^2} \end{aligned} \right\} \quad (8-49m)$$

小球表面的速度分布为：

$$u_r = u_\theta = 0 \quad \frac{\partial u_r}{\partial r} = \frac{\partial u_\theta}{\partial r} = 0$$

根据公式(4-87)(4-88)，正应力 $p_{rr}$ 与切应力 $\tau_{r\theta}$ 公式为：

$$\begin{aligned} p_{rr} &= -p + 2\mu \frac{\partial u_r}{\partial r} \\ \tau_{r\theta} &= \mu \left( \frac{\partial u_r}{r \partial \theta} + \frac{\partial u_\theta}{\partial r} - \frac{u_\theta}{r} \right) \end{aligned} \quad \begin{aligned} &\text{在小球表面上:} \\ &\rightarrow \end{aligned} \quad \left. \begin{aligned} (p_{rr})_{r=r_0} &= -p_0 + \frac{3\mu U_\infty \cos \theta}{2r_0} \\ (\tau_{r\theta})_{r=r_0} &= -\frac{3\mu U_\infty \sin \theta}{2r_0} \end{aligned} \right\} \quad (8-50)$$



## 8.4 粘性流体绕小圆球的蠕动流动

在球面取微分面积:

$$dA = 2\pi r_0 \sin \theta r_0 d\theta$$

正应力作用在圆球上的合力在 $x$ 方向的分量为:

$$P_x = \int_A (\tau_{r\theta}) r = r_0 \cos \theta dA = \int_0^\pi \left( -p_0 + \frac{3}{2} \mu U_\infty \frac{\cos \theta}{r_0} \right) \cos \theta \cdot 2\pi r_0 \sin \theta r_0 d\theta = 2\pi \mu r_0 U_\infty$$

切应力作用在圆球上的合力在 $x$ 方向的分量为:

$$F_x = - \int_A (\tau_{\theta rr}) r = r_0 \sin \theta dA = - \int_0^\pi \left( -\frac{3}{2} \mu U_\infty \frac{\sin \theta}{r_0} \right) \sin \theta \cdot 2\pi r_0 \sin \theta r_0 d\theta = 4\pi \mu r_0 U_\infty$$

圆球所受总阻力:

$$F_D = P_x + F_x = 6\pi \mu r_0 U_\infty = 3\pi \mu d_0 U_\infty \quad (8-51)$$

流动阻力系数为:

$$C_D = \frac{F_D}{\frac{1}{2} \rho U_\infty^2 A} = \frac{6\pi \mu r_0 U_\infty}{\frac{1}{2} \rho U_\infty^2 \pi r_0^2} = \frac{24}{\frac{U_\infty d}{\nu}} = \frac{24}{Re} \quad (8-52)$$

式(8-51)就是圆球的斯托克斯阻力公式, 由斯托克斯1851年导出

## 8.4 粘性流体绕小圆球的蠕动流动

当  $Re < 1$  时, (8-52)式与实验结果符合较好,

$$C_D = \frac{F_D}{\frac{1}{2}\rho U_\infty^2} = \frac{6\pi\mu r_0 U_\infty}{\frac{1}{2}\rho U_\infty^2 \pi r_0^2} = \frac{24}{\frac{U_\infty d}{\nu}} = \frac{24}{Re} \quad (8-52)$$

当  $Re > 1$  奥森解更加接近实验结果

$$C_D = \frac{24}{Re} \left( 1 + \frac{3}{16} Re \right) \quad (8-53d)$$

当  $1 < Re < 1\,000$  时, 怀特通过实验得到的阻力系数经验公式为:

$$C_D = \frac{24}{Re} + \frac{6}{\sqrt{Re}} + 0.4$$

## 8.4 粘性流体绕小圆球的蠕动流动

颗粒在静止流体中的自由沉降问题：

圆球在流体中以等速度自由沉降：浮力 $F_B$ 、阻力 $F_D$ 和重力 $W$ 达到平衡：

$$W = F_D + F_B$$

此时圆球速度为自由沉降速度  $U_f$ ，则有：

$$F_B = \frac{1}{6}\pi d^3 \rho g \quad W = \frac{1}{6}\pi d^3 \rho_s g \quad F_D = C_D \cdot \frac{1}{4}\pi d^2 \cdot \frac{1}{2}\rho U_f^2$$

$$\rightarrow \frac{1}{6}\pi d^3 \rho_s g = \frac{1}{6}\pi d^3 \rho g + C_D \cdot \frac{1}{4}\pi d^2 \cdot \frac{1}{2}\rho U_f^2$$

$$\rightarrow U_f = \sqrt{\frac{4gd(\rho_s - \rho)}{3C_D\rho}} \quad (8-55)$$

## 8.4 粘性流体绕小圆球的蠕动流动

$$U_f = \sqrt{\frac{4gd(\rho_s - \rho)}{3C_D\rho}} \quad (8-55)$$

当  $Re \leq 1$  时

采用拖曳力系数  $C_D = \frac{24}{Re}$   $\Rightarrow U_f = \frac{1}{18} \frac{g}{\nu} \frac{\rho_s - \rho}{\rho} d^2$  (8-56)

当  $1 \leq Re \leq 10^3$  时

采用  $C_D = \frac{24}{Re} + \frac{6}{\sqrt{Re}} + 0.4$   $\Rightarrow 0.4U_f^2 + 6\sqrt{\frac{\nu U_f^3}{d}} + \frac{24\nu}{d} U_f - \frac{4}{3}gd\frac{\rho_s - \rho}{\rho} = 0$  (8-57b)

当  $10^3 \leq Re \leq 2 \times 10^5$  时

采用  $C_D = 0.48$   $\Rightarrow U_f = \sqrt{2.8gd\frac{\rho_s - \rho}{\rho}}$  (8-58)

## 8.5 黏性流体绕流物体的阻力

### 物体的阻力:

**1.摩擦阻力** — 由粘性**直接**作用的结果

流体绕过物体流动所引起的切向应力造成的阻力

**特点:** (i) 分离点之前  
(ii) 层流 + 湍流

**1.压差阻力** — 由粘性**间接**作用的结果

流体绕过物体流动所引起的压强差造成的阻力

**特点:** 与物体的形状有关

--物体的阻力系数  $C_D = f(Re)$  通过实验获得

## 8.5 黏性流体绕流物体的阻力

### 物体阻力的减小办法

- **减小摩擦阻力：**可以使层流边界层尽可能的长，即层紊流转变点尽可能向后推移，计算合理的最小压力点的位置。在航空工业上采用一种“层流型”的翼型，便是将最小压力点向后移动来减阻，并要求翼型表面的光滑程度。
- **减小压差阻力：**使用翼型使得后面的“尾涡区”尽可能小。也就是使边界层的分离点尽可能向后推移。例如采用流线性物体就可以达到这样的目的。
- 工程上习惯用无因次的阻力系数 $C_D$ 来代替阻力 $F_D$

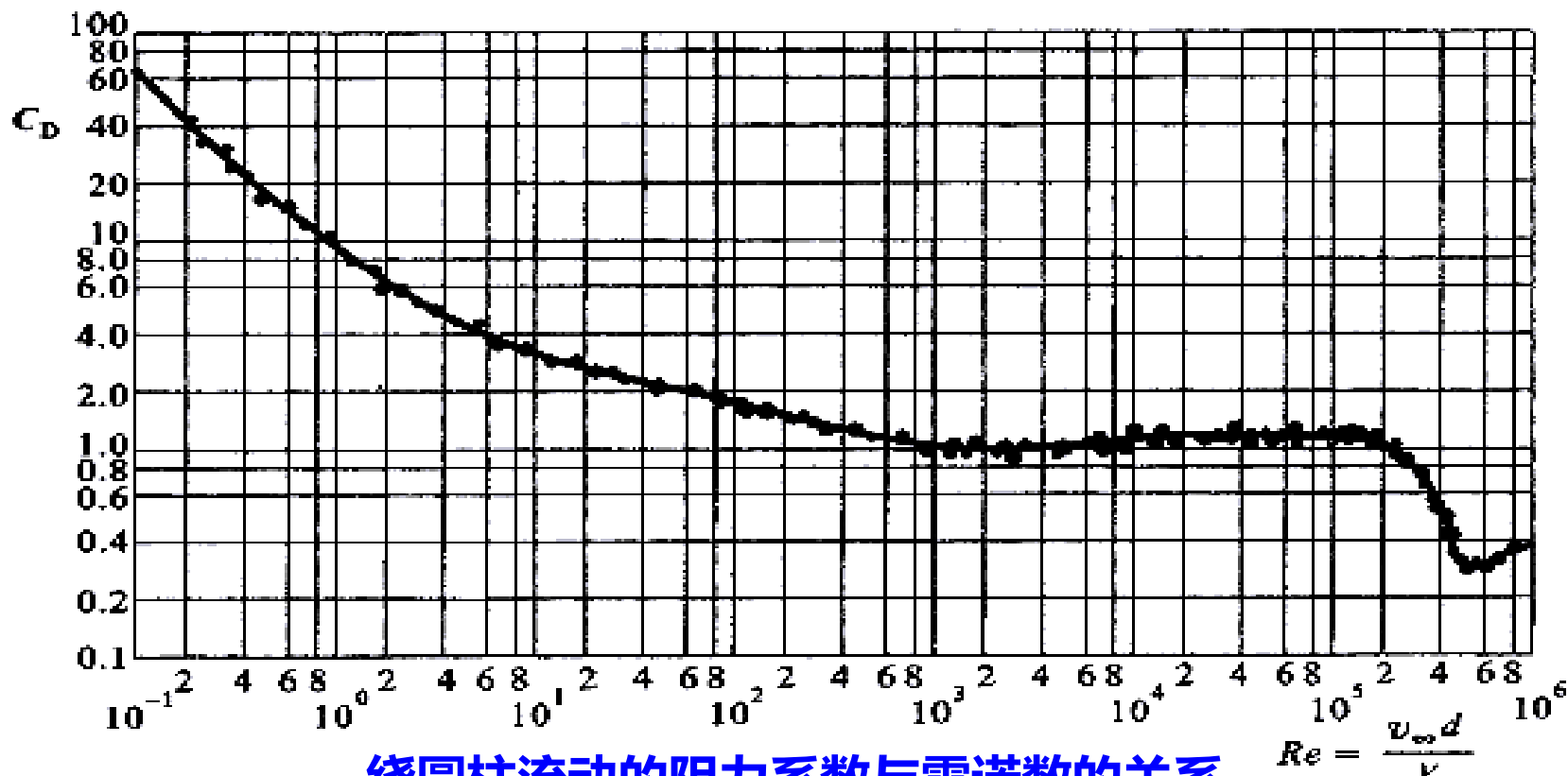
$$C_D = \frac{F_D}{\frac{1}{2} \rho U_\infty^2 A}$$



## 8.5 黏性流体绕流物体的阻力

### 物体阻力的大小与雷诺数的关系

- 按相似定律可知，对于不同的不可压缩流体中的几何相似的物体，如果雷诺数相同，则它们的阻力系数也相同
- 在不可压缩粘性流体中，对于与来流方向具有相同方位角的几何相似体，其阻力系数： $C_D = f(Re)$



# 本章作业

- 8-3
- 8-7
- 8-8
- 8-12

非常重要，一定要做，不用上交

# Thanks!

感谢关注 敬请指导